

### 3. Diskussion

Die einfache Potenzform der gefundenen Abhängigkeiten legt es nahe, eine Dimensionsanalyse zu versuchen. Fragt man nach der Abhängigkeit der Geschwindigkeit  $v_0$  von den Parametern  $U_0$ ,  $L$ ,  $\varrho_0$  und dem Widerstand  $R$  als vierter Größe, d. h. setzt man  $v_0 \sim U_0^a \cdot L^b \cdot \varrho_0^c \cdot R^d$ , so findet man

$$v_0 \sim (R/\varrho_0)^{0.2} \cdot (U_0/L)^{0.4}.$$

Zweifellos darf man einer Dimensionsanalyse nicht den Wert einer echten Theorie beimessen, da die berechneten Exponenten von der Auswahl der Variablen abhängen.

gen. Auf der anderen Seite spricht aber die Übereinstimmung der so bestimmten Exponenten mit den experimentell gefundenen dafür, daß die hier getroffene Wahl die richtige ist.

Ein Vergleich dieses Ergebnisses mit den Theorien von DRABKINA und BRAGINSKIJ ist nur beschränkt möglich, da in beiden Fällen die Größe  $I$  nicht direkt eingeht. Es läßt sich lediglich die Dichteabhängigkeit heranziehen; diese sollte nach DRABKINA mit  $\varrho_0^{-0.266}$  (Argon), nach BRAGINSKIJ mit  $\varrho_0^{-1/6}$  gehen.

Wir danken Herrn Doz. Dr. W. BÖTTICHER für klärende Diskussionen, dem Herrn Bundesminister für Wissenschaftliche Forschung für Personal- und Sachbeihilfen.

## Absolutmessung von Übergangswahrscheinlichkeiten an Argonlinien im nahen Ultraviolett

M.-U. BETH, W. L. BOHN und G. NEDDER

DVL-Institut für Plasmadynamik, Stuttgart

(Z. Naturforsch. 21 a, 1203—1204 [1966]; eingeg. am 6. November 1965)

### Theorie

Im Falle thermodynamischen Gleichgewichts ist bei Emission aus optisch dünner Schicht in den Raumwinkel eins der Emissionskoeffizient einer Spektrallinie gegeben durch den Ausdruck:

$$\varepsilon_L = \int_{-\infty}^{+\infty} \varepsilon_\lambda d\lambda = \frac{1}{4\pi} h c \lambda_{nm}^{-1} A_{nm} n_i(m). \quad (1)$$

Dabei sind  $h$  und  $c$  die üblichen Konstanten,  $\lambda_{nm}$  die Wellenlänge des Überganges von  $m \rightarrow n$  und  $A_{nm}$  die Übergangswahrscheinlichkeit.

Für die Besetzungszahl  $n_i(m)$  des angeregten Zustandes  $m$  gilt:

$$n_i(m) = n_i g_i(m) Z_i^{-1} \exp\left(-\frac{E_i(m)}{kT}\right), \quad (2)$$

$n_i$  = Teilchenzahl der  $i$ -ten Ionisationsstufe (für das neutrale Atom ist  $i=1$ ),

$g_i(m)$  = statistisches Gewicht des angeregten Zustandes  $m$ ,

$E_i(m)$  = Anregungsenergie des Zustandes  $m$ ,

$Z_i$  = Zustandssumme des  $i$ -ten Atoms.

Damit ergibt sich:

$\varepsilon_L = \varepsilon^* A_{nm}$  mit

$$\varepsilon^* = n_i \exp\left(-\frac{E_i(m)}{kT}\right) \frac{1}{4\pi} h c \lambda_{nm}^{-1} Z_i^{-1} g_i(m). \quad (3)$$

In dieser Gleichung treten außer  $\varepsilon_L$ ,  $T$ ,  $n_i$  und  $A_{nm}$  nur bekannte Größen auf. Die Konzentrationen der Plasmakomponenten  $n_i$  lassen sich mit Hilfe der SAHA-Gleichung und der Quasineutralitätsbedingung nach einem bekannten Iterationsverfahren für den entsprechenden Druck (hier:  $p=2$  atm) bestimmen. Nach der im folgenden ausgeführten Umrechnung der side-on gemes-

nen Intensitäten  $I_j$  auf die radialen Werte des Emissionskoeffizienten  $\varepsilon_L$  läßt sich bei Kenntnis einer der beiden Größen  $T$  oder  $A_{nm}$  die andere bestimmen.

### Bestimmung des lokalen Emissionskoeffizienten

Der Radius einer kreissymmetrischen Bogenquerschnitte wird in bekannter Weise<sup>1</sup> in  $N$  gleiche Teile der Länge  $r_0$  unterteilt. Die radialen Größen werden von innen nach außen jeweils mit dem von 0 bis  $N$  laufenden Index  $k$  bezeichnet, während die integrierten Größen analog mit dem Index  $j$  gekennzeichnet werden. Dabei ist der  $k$ -te Bereich durch

$$k r_0 \leq r_k < (k+1) r_0$$

festgelegt und jede Größe in diesem Bereich durch das Mittel ihres Wertes zwischen  $k$  und  $k+1$  definiert.

Bei seitlicher Beobachtung ergeben sich die integrierten Intensitäten  $I_j$  durch Summation über die lokalen Emissionskoeffizienten  $\varepsilon_k$ .

$$I_j = r_0 \sum_{k=j}^{k=N-1} \varepsilon_k C_{j,k} \quad (4)$$

wobei

$$\left. \begin{aligned} C_{j,k} &= a_{j,k} & \text{für } j = k \\ &= a_{j,k} + a_{j,k-1} & \text{für } j < k, \\ a_{j,k} &= [(k+1)^2 - j^2]^{1/2} - (k^2 - j^2)^{1/2} \end{aligned} \right\} \quad (5)$$

Umgekehrt ergibt sich  $\varepsilon_k$  bei bekannten integrierten Intensitäten  $I_j$  aus der ABEL-Transformation<sup>1</sup>:

$$\varepsilon_k = -\frac{2}{\pi r_0} \sum_{j=k}^{j=N-1} I_j B_{k,j} \quad (6)$$

mit

$$\left. \begin{aligned} B_{k,j} &= A_{k,j-1} - A_{k,j} & \text{für } j \geq k+1 \\ &= A_{k,j} & \text{für } j = k, \\ A_{k,j} &= \frac{1}{2j+1} \{ [(j+1)^2 - k^2]^{1/2} - (j^2 - k^2)^{1/2} \} \end{aligned} \right\} \quad (7)$$

### Bestimmung von Übergangswahrscheinlichkeiten

Bei Kenntnis des Temperaturprofils läßt sich für beliebige Linien eines side-on gewonnenen Spektrums aus den Gln. (3) und (4) die integrierte Intensität

<sup>1</sup> O. H. NESTOR u. H. N. OLSEN, SIAM Rev. 2, 200 [1960].



Dieses Werk wurde im Jahr 2013 vom Verlag Zeitschrift für Naturforschung in Zusammenarbeit mit der Max-Planck-Gesellschaft zur Förderung der Wissenschaften e.V. digitalisiert und unter folgender Lizenz veröffentlicht: Creative Commons Namensnennung-Keine Bearbeitung 3.0 Deutschland Lizenz.

This work has been digitized and published in 2013 by Verlag Zeitschrift für Naturforschung in cooperation with the Max Planck Society for the Advancement of Science under a Creative Commons Attribution-NoDerivs 3.0 Germany License.

Zum 01.01.2015 ist eine Anpassung der Lizenzbedingungen (Entfall der Creative Commons Lizenzbedingung „Keine Bearbeitung“) beabsichtigt, um eine Nachnutzung auch im Rahmen zukünftiger wissenschaftlicher Nutzungsformen zu ermöglichen.

On 01.01.2015 it is planned to change the License Conditions (the removal of the Creative Commons License condition "no derivative works"). This is to allow reuse in the area of future scientific usage.

$$I_j^* = r_0 \sum_{k=j}^{k=N-1} \varepsilon_k^* C_{j,k} \quad (8)$$

für jedes  $j$  berechnen. Da die Übergangswahrscheinlichkeit unabhängig vom Summationsindex ist, ergibt sich:

$$I_j^* A_{nm} = I_j = r_0 \sum_{k=j}^{k=N-1} \varepsilon_k C_{j,k}. \quad (9)$$

Nach Messung von  $I_j$  und Berechnung von  $I_j^*$  wird

$$A_{nm} = I_j / I_j^*. \quad (10)$$

#### Experimentelle Anordnung

Die Messungen wurden ausgeführt an einem in Abb. 1 gezeigten Argonbogen bei 2 atm in einer wassergekühlten Hochdruckkammer. Der Bogen brannte frei und stationär bei einem Strom von 100 A zwischen einer spitzen Wolframkathode und einer ebenen Kupferanode. Beide Elektronen waren wassergekühlt; der Abstand betrug 0,5 cm (zur Apparatur siehe auch <sup>2</sup>).

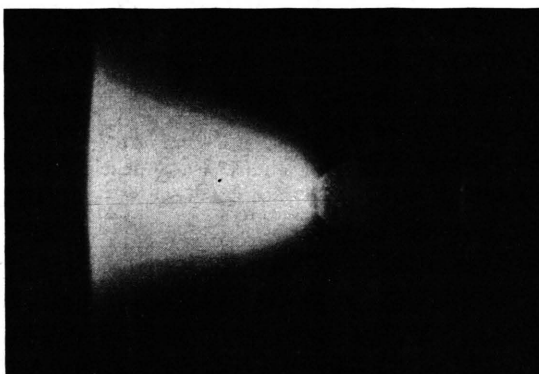


Abb. 1. Photographie des Argonbogens.

Um den senkrecht brennenden Bogen quer auf dem Spalt abzubilden, wurde zur Vermeidung zweier zusätzlicher Spiegel der Spektrograph auf die Seite gelegt. Zur Aufnahme eines Strahlungsnormals und verschie-

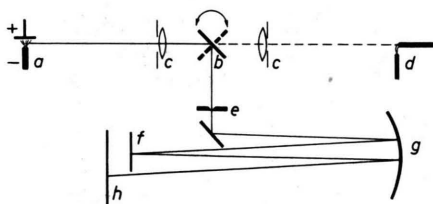


Abb. 2. Schematischer Strahlengang: a = Argonbogen, b = Klappspiegel, c = Achromat, d = Kohlebogen, e = Spalt, f = Gitter, g = Hohlspiegel, h = Plättenebene.

<sup>2</sup> W. L. BOHN, M.-U. BETH u. G. NEDDER, 7. Intern. Konferenz für Phänomene in ionisierten Gasen, Belgrad 1965.

<sup>3</sup> J. EULER, Ann. Phys. Leipzig (6) 11, 203 [1953].

<sup>4</sup> J. P. MEHLTRETT, Dissertation, Heidelberg 1962.

dener Schwärzungsmarken auf der photographischen Platte konnte ein Spiegel im Strahlengang reproduzierbar um 180° verdreht werden (Abb. 2).

Für die Aufnahmen wurde ein Gitterspektrograph (PGS 2—Jena) mit 2 m Brennweite benutzt. Die reziproke Lineardispersion in der 1. Ordnung war 7,36 Å/mm und das Auflösungsvermögen besser als 30 000.

#### Auswertung

Zur Auswertung wurden zehn Spektren von Bogenquerschnitten in Abständen von 0,02 bis 0,05 cm vor der Kathode herangezogen. Die Spaltbreite betrug 0,004 cm, die Belichtungszeit 0,2 sec.

Die Linien wurden photometriert, die Photometerkurven mit einer Schwärzungskurve entzerrt und die so gewonnenen relativen Intensitäten mit den entsprechenden Werten eines Strahlungsnormals <sup>3, 4</sup> absolut geeicht.

Zur Bestimmung des Temperaturprofils wurden von der A II-Linie  $\lambda = 4657,94$  Å (Multiplett Nr. 15, Übergang:  $4s^2 P_{3/2} - 4p^2 P_{1/2}$ ) die Werte  $I_j$  in jedem Spektrum gemessen. Die zugehörige Übergangswahrscheinlichkeit ist mit  $A_{nm} = 6,95 \cdot 10^7$  sec<sup>-1</sup> bekannt <sup>5</sup>.

Für die Linien mit unbekannter Übergangswahrscheinlichkeit wurde in jedem Spektrum die integrierte Intensität  $I_j$  für  $j=0$  gemessen und nach den Gl. (9) und (10) die Übergangswahrscheinlichkeit errechnet. Die so gefundenen Werte von vier A II-Linien sind in Tab. 1 eingetragen. Der Streufehler wurde statistisch zu 30% ermittelt.

$\lambda$ [Å]	Übergang	Multiplett Nr.	$A_{nm}$ [sec <sup>-1</sup> ]
3281,72	$4p^2 P_{1/2}^0 - 4d^2 P_{1/2}^0$	47	$1,02 \cdot 10^7$
3293,66	$4p^2 P_{3/2}^0 - 4d^2 P_{3/2}^0$	83	$2,34 \cdot 10^7$
3307,24	$4p^2 P_{1/2}^0 - 4d^2 P_{1/2}^0$	83	$3,59 \cdot 10^7$
3350,94	$4p^2 F_{5/2}^0 - 4d^2 F_{5/2}^0$	109	$2,14 \cdot 10^7$

Tab. 1.

Bei der gemessenen Achsentemperatur von 25 400 °K konnten wegen der stärkeren Temperaturabhängigkeit der Intensitäten der A III-Linien deren Übergangswahrscheinlichkeiten nur größenordnungsmäßig bestimmt werden. Von zwei A III-Multipletts wurden die Komponenten einzeln vermessen und folgende Werte gefunden:

Multiplett Nr. 1:

$\lambda = 3285,85$ ;  $3301,88$  und  $3311,25$  Å,  
Größenordnung von  $A_{nm}$ :  $10^8$  sec<sup>-1</sup>.

Multiplett Nr. 3:

$\lambda = 3336,13$ ;  $3344,72$  und  $3358,49$  Å,  
Größenordnung von  $A_{nm}$ :  $10^8$  sec<sup>-1</sup>.

Die Wellenlängen, die Bezeichnungen der Terme und die Multiplettnummern wurden <sup>6</sup> entnommen.

<sup>5</sup> H. N. OLSEN, J. Quant. Spectr. Radiative Transfer 3, 59 [1963].

<sup>6</sup> CH. E. MOORE, Multiplett-Table, Nat. Bur. Stand. 36, U.S. Department of Commerce, Washington, D.C. 1959.